

КИНЕТИКА ТУННЕЛЬНОГО ПЕРЕНОСА ЭЛЕКТРОНА МЕЖДУ АНТИМОРФНЫМИ ДЕФЕКТАМИ В ОПТИЧЕСКИХ КРИСТАЛЛАХ С ПОДВИЖНЫМИ КАТИОНАМИ

И. Н. Огородников, М. С. Киселева*

Уральский федеральный университет
620002, Екатеринбург, Россия

Поступила в редакцию 26 ноября 2011 г.

В рамках теории диффузионно-контролируемой туннельной рекомбинации проведен анализ экспериментальных данных по короткоживущему оптическому поглощению в видимой и ультрафиолетовой областях спектра для широкозонных оптических кристаллов боратов лития $\text{Li}_2\text{B}_4\text{O}_7$, LiB_3O_5 , $\text{Li}_6\text{Gd}(\text{BO}_3)_3$ и дигидрофосфатов калия KH_2PO_4 и аммония $\text{NH}_4\text{H}_2\text{PO}_4$. Показано, что импульсное радиационное воздействие наносекундной длительности приводит к формированию в данных кристаллах пар дефектов в виде дырочных центров поляронного типа и электронных центров на основе междуузельных катионов, кинетика релаксации которых в широкой временной области 10^{-8} – 10 с описывается предложенной в работе моделью туннельного переноса электрона между антиморфными дефектами катионной подрешетки в условиях термостимулированной подвижности одного из партнеров рекомбинационного процесса. Для каждого из перечисленных кристаллов определены численные значения кинетических параметров и рассчитаны временные зависимости констант скоростей реакций, что дает возможность моделировать динамику изменения оптических свойств данных материалов в условиях импульсного радиационного воздействия.

1. ВВЕДЕНИЕ

Туннельный перенос электрона между локализованными состояниями дефектов в диэлектрических материалах играет важную роль во многих физических, химических и биологических процессах [1–4]. Многочисленные работы (например, [5–7]) посвящены разработке моделей конкретных процессов в твердом теле с учетом туннельного переноса электрона. Важной особенностью туннельного переноса электрона в твердом теле является наличие распределения реагентов по расстояниям между дефектами. В системе подвижных дефектов возможно термостимулированное изменение этого распределения, что существенно усложняет физическую картину. В [8] обобщены результаты разработки общей теории туннельного переноса электрона, стимулированного подвижностью дефектов. Однако адаптация этой теории к описанию конкретных объектов в каждом случае требует отдельного рассмотрения.

В настоящей работе представлена модель, опи-

зывающая кинетику туннельного переноса электрона между подвижными дефектами, и проведено ее сопоставление с экспериментальными данными по кинетике затухания короткоживущего (transient) оптического поглощения для широкозонных (с шириной запрещенной зоны $E_g = 8.5$ – 9.0 эВ) оптических кристаллов боратов лития $\text{Li}_2\text{B}_4\text{O}_7$ (LTB), LiB_3O_5 (LBO), $\text{Li}_6\text{Gd}(\text{BO}_3)_3$ (LGBO) и дигидрофосфатов калия KH_2PO_4 (KDP) и аммония $\text{NH}_4\text{H}_2\text{PO}_4$ (ADP). Эти материалы интенсивно исследуются в последние годы как с точки зрения изучения их фундаментальных свойств, так и в плане их практического применения в качестве детекторных, преобразующих и волноводных оптических сред для широкой области спектра, включая ближний инфракрасный диапазон, видимую область и область дальнего ультрафиолета. Так, например, диапазон оптической прозрачности LBO, являющегося типичным представителем этой группы кристаллов, простирается от 159 до 3500 нм [9].

Данные кристаллы имеют сравнительно низкую симметрию кристаллической решетки и сложную элементарную ячейку, состоящую из нескольких де-

*E-mail: igor.ogorodnikov@bk.ru

Таблица 1. Кристаллографические параметры исследованных кристаллов при 293 К

Параметр	LGBO	LBO	LTB	ADP	KDP
Группа симметрии	$P2_1\bar{c}$	$Pna2_1$	$I4_1cd$	$I\bar{4}2d$	$I\bar{4}2d$
a , нм	0.7228	0.8447	0.9477	0.7499	0.7453
b , нм	1.6506	0.7379	$b = a$	$b = a$	$b = a$
c , нм	0.6693	0.5140	1.0286	0.7549	0.6975
β	105.37°	90°	90°	90°	90°
Z	4	4	8	4	4
Количество атомов	76	36	104	48	32
Плотность, г·см ⁻³	3.500	2.470	2.440	1.803	2.338
Ссылка	[15, 16]	[9]	[10, 11]	[13, 14]	[13, 14]

Примечание: Z — количество формульных единиц в элементарной ячейке.

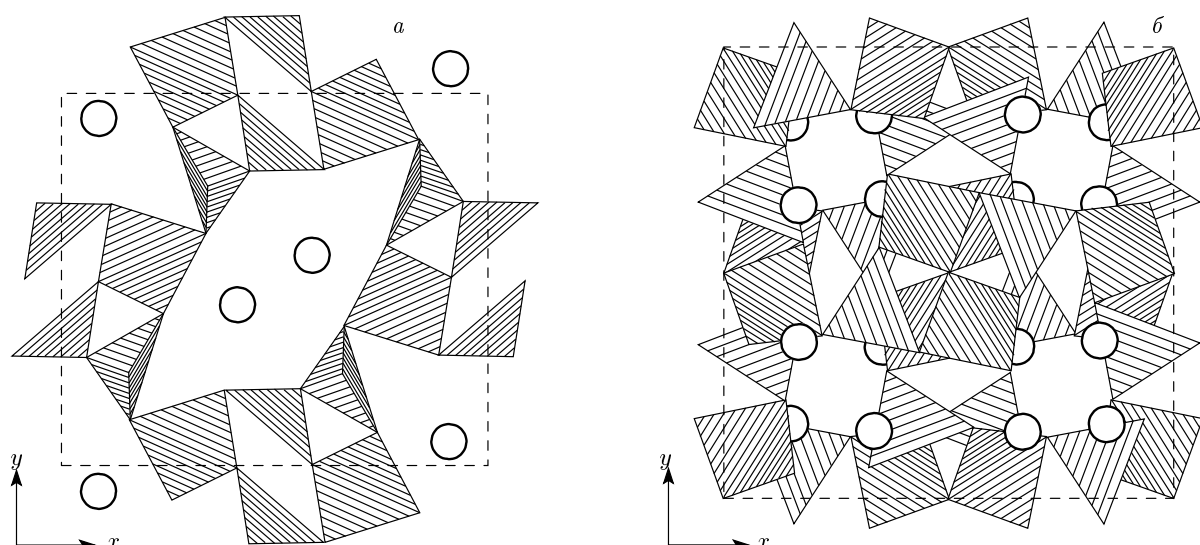


Рис. 1. Фрагменты структуры кристаллов LBO (a) и LTB (б), построенные по кристаллографическим данным работ [12, 17]. Заштрихованные треугольники и тетраэдры соответствуют борокислородным группам BO_3 и BO_4 , светлые кружки изображают атомы лития. Штриховой линией обозначены границы элементарной ячейки

сятков атомов (табл. 1, рис. 1). В каждом из этих соединений можно выделить борокислородную или дигидрофосфатную анионную группу. Их отличительной чертой является контраст между сугубо ковалентными химическими связями внутри анионных групп и сравнительно слабыми ионными связями между катионом лития или водорода и соответствующей анионной группой [9–16]. С точки зрения динамики решетки, данные кристаллы являются представителями обширного класса широкозонных оксидных диэлектриков с подвижными катионами. Наличие подрешетки слабосвязанных катионов лития

или водорода в сочетании с устойчивым анионным каркасом должно самым серьезным образом сказываться на динамике электронных возбуждений и особенностях радиационного дефектообразования. Особую остроту эта проблема приобретает в случае легких подвижных катионов малого радиуса, например катионов лития или водорода. Однако, несмотря на очевидную важность рассматриваемого явления, систематического исследования формирования и эволюции короткоживущих радиационных дефектов в данных кристаллах до начала наших работ практически никем не проводилось. Особенно это касается

наносекундной временной области. Известно лишь несколько работ в данном направлении. Так, при облучении кристалла KDP мощным лазерным излучением ($1 \text{ ГВт}/\text{см}^2$, $\lambda = 266 \text{ нм}$) при комнатной температуре обнаружено формирование широкой полосы короткоживущего оптического поглощения (КОП), перекрывающей большую часть видимого и ближний ультрафиолетовый диапазоны спектра [18]. В работе [19] были выполнены полу количественные измерения кинетики затухания КОП и на их основе приближенно оценено влияние КОП на генерацию четвертой гармоники в кристалле KDP. В [20] проведено измерение КОП кристалла KDP при возбуждении электронным пучком микросекундной длительности. Полученные в наших предыдущих работах экспериментальные результаты по импульсной абсорбционной спектроскопии кристаллов LTB [21], LBO [22, 26], LGBO [27, 28], ADP и KDP [29] показали, что короткий импульс сравнительно умеренного радиационного воздействия (электронный пучок с энергией $E_e = 200 \text{ кэВ}$ и длительностью $\tau_e = 10 \text{ нс}$) приводит к формированию в катионной подрешетке данных кристаллов антиморфных дефектов «вакансия – междуузельный атом», являющихся прекурсорами для последующего формирования различных электронных и дырочных центров окраски.

К настоящему времени в кристаллах боратов лития идентифицированы дырочные центры полярного типа с общим наименованием O^- -центры (дырка, локализованная на $2p$ -орбитали кислорода в окрестности какого-либо дефекта или структурной неоднородности) [30–35]. Электронный Li^0 -центр в боратах лития представляет собой междуузельный атом лития [21, 26–28, 30]. В кристаллах KDP и ADP идентифицированы дырочные центры полярного типа в виде А-радикала (дырка, локализованная на $2p$ -орбитали кислорода в окрестности вакансии иона водорода) и автолокализованные дырки [36–41]. Электронный H^0 -центр в KDP и ADP представляет собой междуузельный атом водорода [42].

Экспериментальные данные по диффузии и ионной электропроводности свидетельствуют о том, что при комнатной температуре ионы лития в LTB [43, 44], LBO [17] и ионы водорода в KDP [45], ADP [46] являются подвижными и совершают термостимулированную миграцию. В наших предыдущих работах [21, 26–29, 47–49] методом импульсной абсорбционной спектроскопии с временным разрешением было выполнено исследование кинетики затухания КОП в данных кристаллах при возбуждении электронным пучком наносекундной длительности.

Релаксация наведенной оптической плотности после импульсного радиационного воздействия зарегистрирована в течение восьми–девяти декад времени затухания. На качественном уровне было установлено, что кинетика затухания КОП в широкой временной области контролируется процессом туннельного переноса электрона между электронными и дырочными центрами [21, 26, 27, 29]. Однако количественного изучения кинетики затухания КОП не проводилось. Это дает основания для обсуждения кинетики затухания КОП данных кристаллов в рамках модели туннельного переноса электрона в условиях термостимулированной подвижности однотипных или обоих рекомбинирующих реагентов системы.

Целью настоящей работы явилось изучение кинетики туннельного переноса электрона в условиях подвижности реагентов в кристаллах боратов лития, дигидрофосфатов калия и аммония, выполненное методом математического моделирования в сопоставлении с ранее полученными экспериментальными данными по кинетике затухания КОП радиационных дефектов, индуцированных электронным пучком наносекундной длительности.

2. МАТЕМАТИЧЕСКАЯ МОДЕЛЬ И РЕЗУЛЬТАТЫ РАСЧЕТА

2.1. Формулировка модели

Рассмотрим систему, состоящую из дефектов двух типов. К первой группе (дефекты А-типа) отнесем дырочные центры в виде катионной вакансии, захватившей дырку (O^- -центры в боратах, А-радикалы в дигидрофосфатах). Вторая группа (дефекты В-типа) представлена электронными центрами в виде подвижных междуузельных атомов Li^0 или H^0 . Туннельный перенос электрона между дефектами В и А приводит к их исчезновению в результате зарядки. Кинетика туннельного переноса электрона в системе подвижных реагентов в общем случае может быть описана с помощью уравнения Смолуховского (1) для корреляционной функции $Y(r, t)$ разнотипных дефектов [8]. В рамках линейного приближения для описания динамики процесса рекомбинации дефектов двух типов $A + B \rightarrow 0$ рассматривают только макроскопические концентрации этих дефектов (n_A , n_B) и парные корреляционные функции $Y(r, t)$ разнотипных дефектов:

$$\frac{\partial Y(r, t)}{\partial t} = \nabla D \nabla Y(r, t) - W(r)Y(r, t), \quad (1)$$

где D — коэффициент диффузии; $W(r)$ — вероятность гибели дефектов при рекомбинации; r — рас-

стояние между дефектами; t — время. Для дистанционных реакций, в частности туннельного переноса электрона

$$W(r) = W_0 \exp(-r/a_B), \quad (2)$$

где a_B — половина радиуса Бора волновой функции электронного центра, W_0 — предэкспоненциальный множитель. Для конкурирующего процесса — аннигиляции комплементарных дефектов в результате контактной реакции — выражение для вероятности принимает вид

$$W(r) = W_0 \theta(r - r_0), \quad (3)$$

где θ — функция Хэвисайда, r_0 — радиус черной сферы рекомбинации для контактной реакции.

Начальные и граничные условия для данного уравнения:

$$Y(r_0, t) = 0$$

— условие Смолуховского,

$$Y(\infty, t) = 1$$

— условие нормировки при отсутствии корреляций для дефектов, бесконечно удаленных друг от друга,

$$Y(r, 0) = 1 + f(r)/n_0,$$

где n_0 — начальная концентрация дефектов, средняя по объему, $f(r) = (1/b) \exp(-r/b)$ — начальное распределение дефектов, b — половина характерного расстояния между дефектами. Функция начального распределения дефектов нормирована на единицу:

$$\int_0^\infty f(r) dr = 1. \quad (4)$$

Временную зависимость константы скорости реакции при этом можно записать в следующем виде:

$$K(t) = \int_V W(r) Y(r, t) dV. \quad (5)$$

Бимолекулярная стадия взаимодействия дефектов, т. е. рекомбинация между различными парами дефектов, описывается с помощью кинетического уравнения для макроскопических концентраций:

$$\frac{dn_A(t)}{dt} = -K(t)n_A(t)n_B(t). \quad (6)$$

В случае переходной кинетики диффузионно-контролируемой туннельной реакции временное поведение парной корреляционной функции $Y(r, t)$

не поддается аналитическому исследованию [8]. В этом случае более информативен численный расчет $Y(r, t)$ и соответствующих временных зависимостей $K(t)$ и $n(t)$. В настоящей работе уравнение (1) решалось численным методом с использованием конечно-разностной схемы Кранка–Никлсона в сферической системе координат; при этом аппроксимацию производных проводилась с двойной точностью. Данная конечно-разностная схема обладает сходимостью, но на каждом шаге требует решения трехточечного конечно-разностного уравнения. Трехдиагональный вид матрицы системы уравнений позволяет применить безытерационный метод «прогонки» для решения трехточечного конечно-разностного уравнения. Реализация конечно-разностной численной схемы осуществлена с помощью разработанного авторами программного обеспечения [50].

2.2. Параметризация и результаты расчета

Параметризацию модели проводили путем сопоставления с полученными ранее экспериментальными данными по кинетике затухания КОП в кристаллах боратов лития, дигидрофосфатов калия и аммония [21, 26, 27, 29]. При сопоставлении экспериментальных и расчетных данных принято, что в соответствии с формулой Смакулы величина регистрируемой в эксперименте наведенной оптической плотности пропорциональна концентрации актуальных дефектов. Поэтому кинетика затухания КОП с точностью до масштабного множителя сопоставима по профилю с кинетикой изменения концентрации дефектов $n(t)$.

Нам не известны экспериментальные работы по диффузии антиморфных дефектов литиевой и водородной подрешеток в этих материалах, однако есть надежные данные по ионной электропроводности $\sigma(T)$ на переменном токе кристаллов LTB [43], LBO [17], ADP [46] и KDP [45] в области температур от комнатной до $T > 500$ К. Для кристалла LGBO данные по диффузии и ионному транспорту не известны, но есть результаты по изоморфному соединению $\text{Li}_6\text{Y}(\text{BO}_3)_3$ [51]. Все экспериментальные данные свидетельствуют о том, что при комнатной температуре ионы лития или водорода в этих кристаллах являются подвижными и совершают термостимулированную миграцию. Для оценки коэффициента диффузии использовали соотношение Нернста–Эйнштейна

$$\frac{D(T)}{\sigma(T)} = \frac{k_B T}{ne^2}, \quad (7)$$

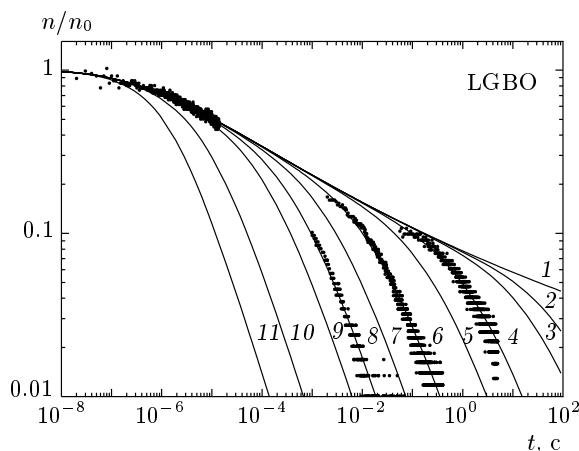


Рис. 2. Временные зависимости относительной концентрации дефектов n/n_0 для кристаллов LGBO при T [К] = 200 (1), 260 (2), 270 (3), 293 (4), 310 (5), 340 (6), 360 (7), 380 (8), 400 (9), 450 (10), 500 (11). Точками показаны экспериментальные данные по кинетике затухания КОП в этих кристаллах

где e — заряд электрона, T — температура. Температурная зависимость коэффициента диффузии имеет вид

$$D(T) = D_0 \exp(-E/k_B T), \quad (8)$$

где D_0 — константа, E — энергия термической активации, k_B — постоянная Больцмана. В качестве параметра E в расчетах использовали энергию активации ионной электропроводности. Ввиду отсутствия экспериментальных данных для температур ниже комнатной данная зависимость $D(T)$ без дополнительного обсуждения возможных механизмов миграции была распространена также на область температур 200–300 К. Дальнейшее уточнение значений параметра D_0 проводили при параметризации модели (табл. 2).

На рис. 2–4 представлены результаты расчета кинетики туннельного переноса электрона в условиях диффузионно-контролируемой подвижности дефектов для кристаллов LGBO, LTB, LBO, ADP и KDP при различных параметрах расчета. Расчетные значения $n(t)$ при 293 К сопоставлены с экспериментальными данными по кинетике затухания КОП для кристаллов боратов лития, дигидрофосфатов калия и аммония, измеренными в видимой и ультрафиолетовой областях спектра в наших предыдущих работах [21, 26, 27, 29]. В табл. 2 приведены численные значения параметров модели, полученные в результате наилучшей аппроксимации этих

экспериментальных данных. При больших начальных концентрациях дефектов ($n_0 = 10^{24} \text{ м}^{-3}$) отношение $f(x)/n_0 \rightarrow 0$. Поэтому в расчетах использовали хаотическое начальное распределение дефектов $Y(r, 0) \approx 1$.

Как видно из приведенных рис. 2, 3, данная модель вполне удовлетворительно согласуется с экспериментальными данными, полученными с помощью метода импульсной абсорбционной оптической спектроскопии с наносекундным временным разрешением. Кинетика затухания КОП в области 10^{-8} –1 с при 293 К полностью описывается моделью туннельного переноса электрона в условиях термостимулированной подвижности одного или обоих рекомбинирующих реагентов системы. Это дает основания перейти к более детальному обсуждению кинетики затухания КОП при различных температурах в области 200–500 К.

3. ОБСУЖДЕНИЕ РЕЗУЛЬТАТОВ

При комнатной температуре во всех исследованных кристаллах имеется система подвижных дефектов. В кристаллах дигидрофосфатов подвижными дефектами являются междоузельные атомы водорода H^0 , а в боратах лития — междоузельные атомы лития Li^0 . Подвижность дефектов носит термостимулированный характер, поэтому ниже определенной температуры, характерной для данного кристалла, дефекты могут считаться неподвижными. Для кристаллов дигидрофосфатов калия и аммония такой температурой является температура Кюри $T_C = 123$ К (KDP) и $T_C = 148$ К (ADP) [13, 14, 45, 46]. В паразелектрической фазе водородная подрешетка этих кристаллов является подвижной. Кристаллы боратов лития не проявляют сегнетоэлектрических свойств, однако обнаружены экспериментальные свидетельства подвижности катионов в лицевой подрешетке этих кристаллов при температурах выше 200 К [17, 30, 31, 43]. Кинетика туннельного переноса электрона между дефектами в системах неподвижных и подвижных дефектов будет различной. Рассмотрим эти случаи более детально. Для удобства дальнейшего анализа определим безразмерные переменные $t' = W_0 t$, $x = r/a_B$ и $D' = D/W_0 a_B^2$.

3.1. Система неподвижных дефектов

В системе неподвижных дефектов основной реакцией является туннельный перенос электрона. При

Таблица 2. Параметры и результаты расчета

Параметр	LGBQ	LBO	LTB	ADP	KDP
$D_0, 10^{-8} \text{ м}^2/\text{с}$	$1 \cdot 10^6$	1.03	1.06	30	0.3
$E, \text{ эВ}$	0.85	0.38*	0.38*	0.48*	0.53*
$W_0, \text{ ГГц}$	0.300	0.006	0.006	50	10
$a_B, \text{ нм}$	0.70	1.00	0.90	0.55	0.46
$n_0, 10^{24} \text{ м}^{-3}$	0.7	1.0	1.0	1.0	1.0
$t_0, \text{ нс}$	3.3	167	167	0.02	0.10
$K(0), 10^{-18} \text{ м}^3/\text{с}$	2.59	0.15	0.11	209	24.5
$10^3 p_0$	3.02	12.57	9.16	2.09	1.22
$D, 10^{-15} \text{ м}^2/\text{с}$	0.03	3.0	3.1	1.7	0.003
$10^7 D' (293 \text{ К})$	1.63	4990	6340	1.10	0.011
$\eta (400 \text{ К})$	370	22	16	$2.3 \cdot 10^4$	$1.1 \cdot 10^6$
$R_s, \text{ нм (200 К)}$	21.9	14.6	12.9	13.7	14.0

Примечание. *Энергии активации взяты из работ [17] (LBO), [43] (LTB), [46] (ADP) и [45] (KDP); $t_0 = W_0^{-1}$; $K(0) = 8\pi a_B^3 W_0$; $p_0 = 4\pi a_B^3 n_0$; D — расчетное значение коэффициента диффузии при $T = 293 \text{ К}$; $D' = D/W_0 a_B^2$; $\eta = \exp(-r_0/a_B)/D'$; $R_s = -a_B \ln D'$.

$D = 0$ кинетическое уравнение (1) приобретает простой вид:

$$\frac{\partial Y(x, t')}{\partial t'} = -e^{-x} Y(x, t'). \quad (9)$$

Для хаотического начального распределения $Y(x, 0) = 1$ оно имеет решение

$$Y(x, t') = \exp[-t' \exp(-x)]. \quad (10)$$

На рис. 4 приведено семейство кривых $Y(x, t')$, построенных для различных моментов времени t' . Из рис. 4 видно, что фронт туннельной рекомбинации перемещается с течением времени в пространстве одинаково (синхронно) для различных значений корреляционной функции $Y(x, t')$. Временная зависимость константы скорости (5) реакции при этом может быть записана в виде

$$K(t') = \frac{K(0)}{2} \int_0^\infty x^2 e^{-x} Y(x, t') dx, \quad (11)$$

где $K(0) = 8\pi a_B^3 W_0$. При малых временах затухания ($t' \ll 1$) корреляционная функция $Y(x, t') \approx 1$. Из (11) следует, что в этом случае $K(t') = K(0)$. При больших временах затухания ($t' \gg 1$) функция $K(t')$ в двойных логарифмических координатах монотонно уменьшается со временем (рис. 5a). Действительно, вероятность $W(x)$ туннельного переноса электрона экспоненциально зависит от расстояния x между

дефектами. Близкие пары дефектов с наибольшими значениями $W(x)$ рекомбинируют первыми. С течением времени фронт рекомбинации смещается на большие расстояния x , характеризующиеся меньшими значениями $W(x)$, что и обуславливает наблюдаемое уменьшение константы скорости реакции $K(t')$ со временем. Однако из рис. 5a видно, что закон уменьшения $K(t')$ в двойных логарифмических координатах отличается от линейного: модуль тангенса угла наклона возрастает со временем. Это должно обуславливать соответствующее замедление в кинетике изменения концентрации дефектов.

При импульсном радиационном воздействии происходит создание френкелевских пар дефектов катионной подрешетки, что предполагает равенство концентраций создаваемых антиморфных дефектов, $n_A = n_B = n$. В этом случае уравнение (6) имеет аналитическое решение, которое удобно записать в безразмерном виде:

$$\frac{n(t')}{n_0} = \left(1 + 2p_0 \int_0^{t'} \frac{K(t')}{K(0)} dt' \right)^{-1}, \quad (12)$$

где n_0 — начальная концентрация дефектов; $p_0 = 4\pi a_B^3 n_0$. На рис. 5б приведены кинетики изменения концентрации дефектов для одной и той же временной зависимости константы скорости реакции $K(t')$, рассчитанные при различных значениях па-ра-

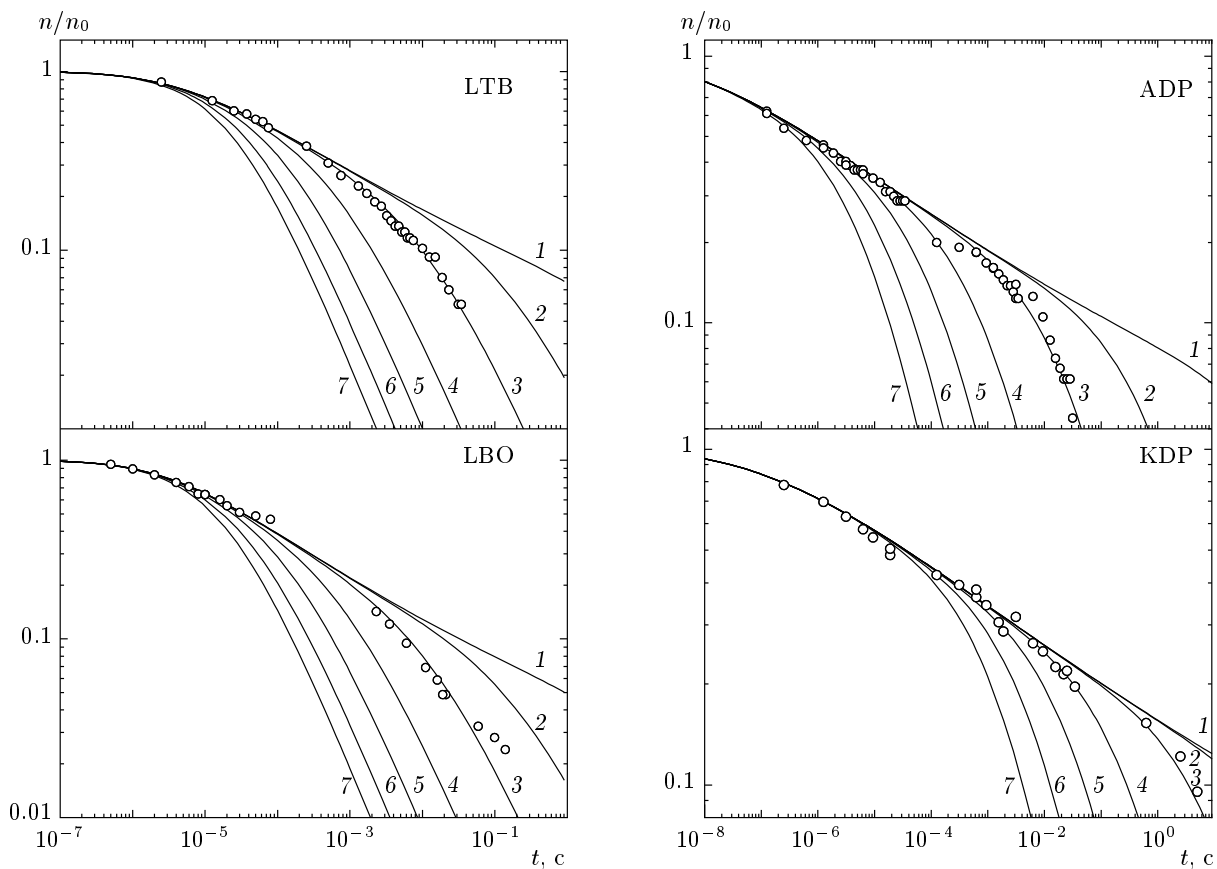


Рис. 3. Временные зависимости относительной концентрации дефектов n/n_0 для кристаллов LTB, LBO, ADP и KDP при T [К] = 200 (1), 250 (2), 293 (3), 350 (4), 400 (5), 450 (6), 500 (7). Светлыми кружками показаны экспериментальные данные по кинетике затухания КОП в этих кристаллах

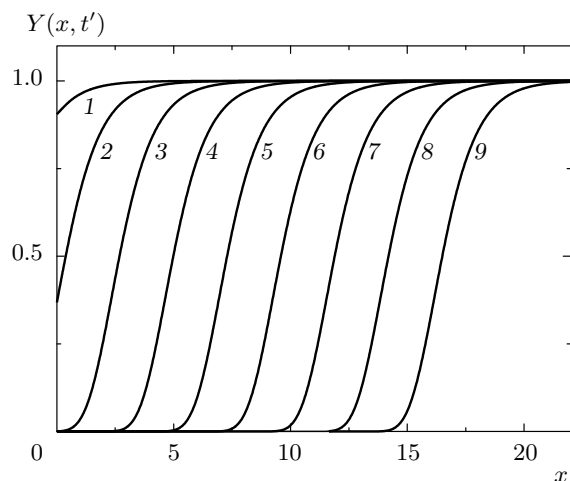


Рис. 4. Корреляционные функции $Y(x, t')$ разнотипных дефектов для системы неподвижных реагентов в моменты времени $t' = W_0 t = 0.1$ (1), 1 (2), 10 (3), 100 (4), 10^3 (5), 10^4 (6), 10^5 (7), 10^6 (8), 10^7 (9)

метра p_0 . Из этих результатов видно, что для одной и той же константы скорости реакции могут наблюдаться различные кинетики изменения концентрации дефектов. Расчетная кинетика в двойных логарифмических координатах изменяется от постоянного уровня до спадающей прямой с тангенсом угла наклона, который слабо зависит от времени затухания. В ограниченном диапазоне времен затухания эта кинетика в двойных логарифмических координатах может быть аппроксимирована прямой.

При увеличении значения параметра p_0 кинетика затухания $n(t')$ становится более быстрой. Поскольку $p_0 \propto a_B^3 n_0$, очевидно, что p_0 будет возрастать при увеличении как радиуса Бора, так и начальной концентрации дефектов. В табл. 2 для всех исследованных кристаллов приведены рассчитанные значения $t_0 = W_0^{-1}$, $K(0)$ и p_0 , соответствующие экспериментальным данным по кинетике затухания КОП в этих кристаллах. Из сопоставления рис. 5б и табл. 2 следуют два важных вывода. Во-первых, по значению параметра p_0 наблюдаемые в эксперименте кинети-

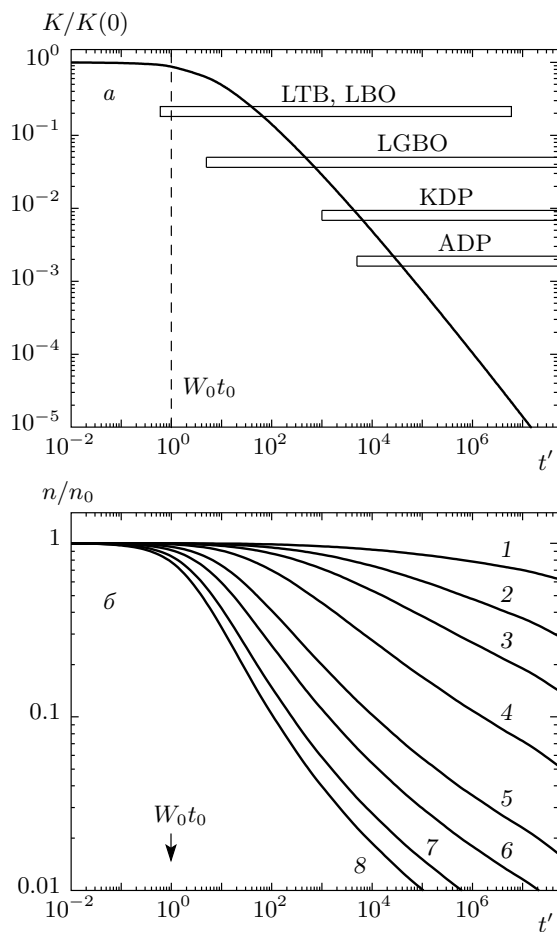


Рис. 5. Временные зависимости константы скорости реакции $K/K(0)$ (а) и относительной концентрации дефектов n/n_0 (б) для системы неподвижных дефектов при значениях параметра $10^3 p_0 = 0.25$ (1), 1.0 (2), 2.5 (3), 7.5 (4), 25 (5), 50 (6), 100 (7), 150 (8). Светлыми горизонтальными полосами показаны временные диапазоны, в которых измерены кинетики затухания КОП, приведенные на рис. 2, 3

ки затухания $n(t')$ в системе неподвижных дефектов можно сопоставить с теоретическими кривыми на рис. 5б: кривая 2 — ADP, KDP; 3 — LGBO; 4 — LTB, LBO. Во-вторых, значение t_0 для кристаллов ADP и KDP почти на два порядка меньше длительности τ_e импульса возбуждения, поэтому кинетики затухания КОП для этих кристаллов во всем измеренном диапазоне соответствуют случаю $t' \gg 1$. Для LTB и LBO $t_0 \gg \tau_e$, поэтому в диапазоне измерения времен затухания кинетики КОП в этих кристаллах наблюдаются оба случая и переход от случая $t' \ll 1$ к $t' \gg 1$. Для кристалла LGBO $t_0 \approx \tau_e$, поэтому

левая граница диапазона измерения времен затухания в этом кристалле соответствует случаю $t' > 1$ (рис. 5б).

Для приближенного описания системы неподвижных дефектов в работе [8] введено понятие эффективного радиуса статической туннельной перезарядки, определение которого в наших обозначениях имеет вид

$$R(t') = a_B \ln t', \quad (13)$$

где $R(t')$ — расстояние, ближе которого все дефекты к моменту времени $t' \gg 1$ уже прорекомбинировали. В этом случае при хаотическом распределении дефектов равной концентрации имеет место приближенное соотношение [5]

$$n^{-1}(t') = n_0^{-1} + \frac{4}{3} \pi R^3(t'). \quad (14)$$

Первое слагаемое в правой части соответствует объему, приходящемуся на один дефект в начальный момент времени. Второе слагаемое соответствует объему, в котором к моменту времени t' все дефекты уже прорекомбинировали. Зависимость (14) в области времен затухания $t' \gg 1$ позволяет, во-первых, приближенно описать аналитическим выражением кинетику затухания $n(t')$ для системы неподвижных дефектов, во-вторых, позволяет получить выражение для модуля тангенса угла наклона p для прямой, аппроксимирующей эту кинетику в двойных логарифмических координатах:

$$p = p_0 \ln^2 t'. \quad (15)$$

Это соответствует известному эмпирическому степенному закону затухания процесса туннельной рекомбинации в системе неподвижных дефектов, $n(t) \propto t^{-p}$ [5].

3.2. Система подвижных дефектов

Для системы подвижных дефектов в однородной среде кинетическое уравнение (1) в безразмерных переменных имеет вид

$$\frac{\partial Y(x, t')}{\partial t'} = D' \Delta Y(x, t') - e^{-x} Y(x, t'). \quad (16)$$

На рис. 6 приведены результаты численного решения этого уравнения для различных значений параметра D' . Из рис. 6а видно, что при малых значениях параметра $D' = 2.6 \cdot 10^{-14}$ корреляционные функции $Y(x, t')$ разнотипных дефектов соответствуют таковым для системы неподвижных дефектов (рис. 4).

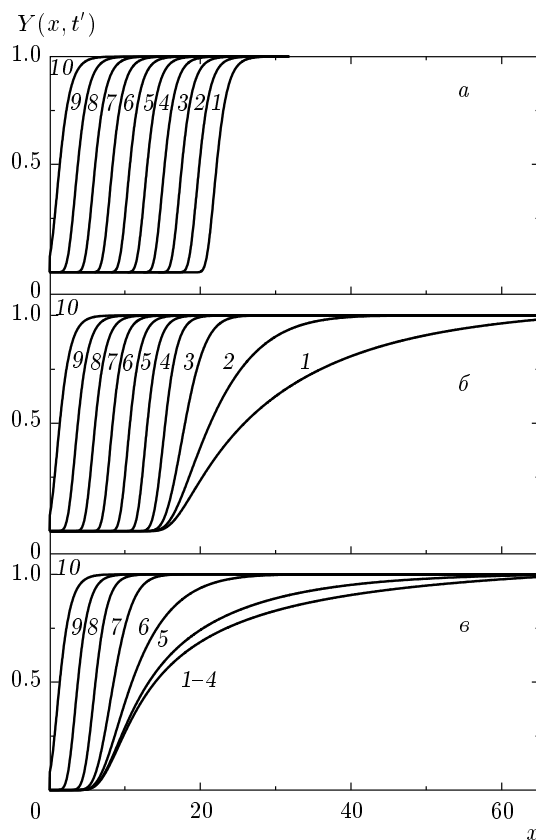


Рис. 6. Корреляционные функции $Y(x, t')$ разно-типовных дефектов для системы подвижных дефектов при $D' = 2.6 \cdot 10^{-14}$ (а), $1.6 \cdot 10^{-7}$ (б), $1.3 \cdot 10^{-3}$ (в). На каждом рисунке приведено семейство кривых $Y(x, t')$ для моментов времени $t' = 3 \cdot 10^9$ (1); $3 \cdot 10^8$ (2); $3 \cdot 10^7$ (3); $3 \cdot 10^6$ (4); $3 \cdot 10^5$ (5); $3 \cdot 10^4$ (6); $3 \cdot 10^3$ (7); 300 (8); 30 (9); 3 (10)

На рис. 6б приведен промежуточный случай подвижных дефектов ($D' = 1.6 \cdot 10^{-7}$). Появление подвижности у дефектов приводит к искажению фронта рекомбинации: большим значениям функции $Y(x, t')$ (кривые 1–3 на рис. 6б) соответствуют большие перемещения в пространстве. При малых временах затухания доминирует туннельный процесс, при больших — диффузионно-контролируемая реакция. При дальнейшем увеличении степени подвижности дефектов ($D' = 1.3 \cdot 10^{-3}$) искажение фронта рекомбинации становится еще значительнее, кривые при больших временах затухания достигают асимптотической кривой, сливаются с ней (кривые 1–4 на рис. 6в) и в дальнейшем не зависят от времени затухания. Это соответствует завершению переходной кинетики диффузионно-контролируемой туннельной перезарядки дефектов.

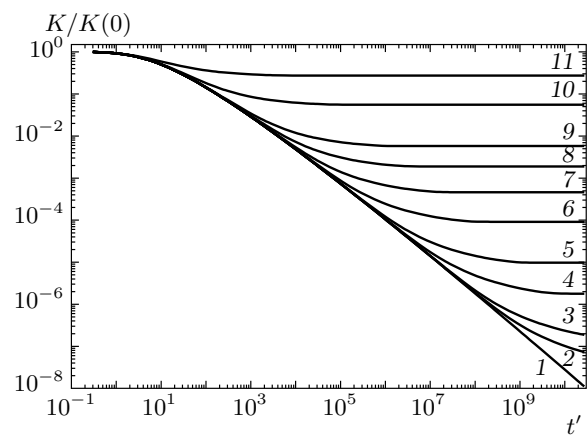


Рис. 7. Временные зависимости константы скорости реакции, $K/K(0)$, для системы подвижных дефектов при значениях параметра D' = $2.6 \cdot 10^{-14}$ (1); $3.0 \cdot 10^{-9}$ (2); $1.2 \cdot 10^{-8}$ (3); $1.6 \cdot 10^{-7}$ (4); $1.0 \cdot 10^{-6}$ (5); $1.2 \cdot 10^{-5}$ (6); $7.4 \cdot 10^{-5}$ (7); $3.6 \cdot 10^{-4}$ (8); $1.3 \cdot 10^{-3}$ (9); $2.1 \cdot 10^{-2}$ (10); $1.8 \cdot 10^{-1}$ (11)

При появлении подвижности дефектов относительный вклад туннельного процесса и диффузионно-контролируемой реакции в рекомбинационный процесс характеризуют параметром η [8], определение которого в наших обозначениях выглядит следующим образом:

$$\eta = \frac{\exp(-r_0/a_B)}{D'}. \quad (17)$$

При $\eta \gg 1$ имеет место случай сильной туннельной перезарядки. При увеличении коэффициента диффузии, например при нагреве, параметр η уменьшается, и выше определенной температуры диффузионный процесс будет доминировать. В табл. 2 приведены значения параметра η , рассчитанные при $T = 400$ К и $r_0 = 0.5$ нм. Для всех кристаллов при 400 К параметр $\eta \gg 1$. Это означает, что во всей исследованной области температур в данных кристаллах имеет место сильная туннельная перезарядка. Для характеристики процессов в таких условиях введено понятие характерного радиуса R_s сильной туннельной перезарядки [8]:

$$R_s = -a_B \ln D'. \quad (18)$$

Величина характерного радиуса сильной туннельной перезарядки в рассматриваемых кристаллах при низких температурах лежит в диапазоне от 12.9 до 21.9 нм (см. табл. 2).

На рис. 7 приведены временные зависимости константы скорости реакции, рассчитанные для различных значений параметра D' . При малых значениях

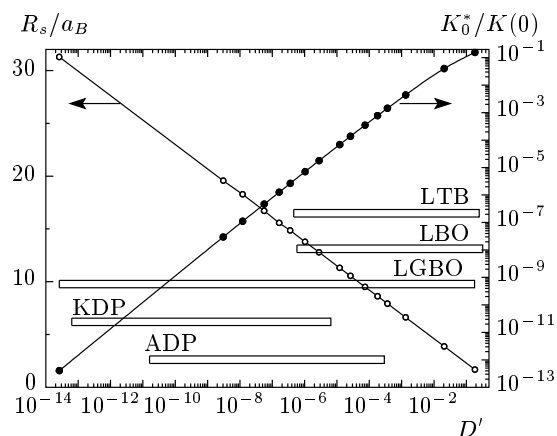


Рис. 8. Зависимости от параметра D' стационарного значения константы скорости реакции, $K_0^*/K(0)$, и эффективного радиуса R_s/a_B для системы подвижных дефектов. Светлыми горизонтальными полосами показаны диапазоны параметра D' , соответствующие температурным интервалам 200–500 К для указанных кристаллов

ях параметра (кривая 1) зависимость $K(t')$ соответствует таковой для системы неподвижных дефектов (см. рис. 4). Возрастание коэффициента диффузии приводит к смещению распределения дефектов в область меньших расстояний x . Это обусловливает некоторую компенсацию уменьшения константы скорости реакции $K(t')$ при больших временах затухания (кривые 2 и 3 на рис. 7). При дальнейшем возрастании параметра D' полная компенсация уменьшения константы скорости реакции достигается в диапазоне исследованных времен затухания и зависимость $K(t')$ выходит на постоянный уровень K_0^* (стационарное значение константы скорости реакции),

$$K_0^* \equiv 4\pi DR_s = -\frac{K(0)}{2}D' \ln D', \quad (19)$$

соответствующий завершению переходной кинетики (кривые 4–11 на рис. 7). На рис. 8 приведены расчетные зависимости K_0^* и R_s от величины параметра D' и указаны диапазоны, соответствующие интервалу температур 200–500 К для всех исследованных кристаллов. Из рис. 8 видно, что при нагреве от 200 до 500 К стационарное значение константы скорости реакции для различных кристаллов возрастает на величину от 4 до 12 порядков, а характерный радиус R_s уменьшается на порядок. Из результатов расчета следует, что при большей подвижности дефектов быстрее происходит завершение переходных процессов и переход к стационарной кинетике рекомбинационного процесса.

Выше на рис. 2, 3 представлены результаты расчета кинетики затухания КОП для температурного диапазона 200–500 К, выполненные в предположении температурной независимости начальной концентрации n_0 дефектов, создаваемых импульсным радиационным воздействием.

Для всех кристаллов искажение фронта рекомбинации на семействе корреляционных функций $Y(x, t')$ соответствует в двойных логарифмических координатах началу отклонения зависимости $n(t')$ от низкотемпературной прямой и последующему ее убыванию по линейному закону с модулем тангенса угла наклона $p = 1$ (см. рис. 2, 3). Известно [8], что для диффузионно-контролируемой реакции асимптотическое описание спада с единичным наклоном соответствует гиперболе первого порядка с постоянной времени затухания t_h . В безразмерных переменных определение постоянной времени имеет вид

$$\frac{1}{t'_h} = 2p_0 \frac{K_0^*}{K(0)} = -p_0 D' \ln D', \quad (20)$$

где $t'_h = W_0 t_h$. Возрастание значения D' с ростом температуры приводит к уменьшению значения t'_h . Из выражения (20) следует, что зависимость $1/t'_h$ с точностью до постоянного множителя $2p_0$ совпадает с зависимостью $K_0^*/K(0)$, приведенной на рис. 8. Очевидно также, что энергия активации, определенная по положению гиперболического спада кривой $n(t')$, будет приближенно сопоставима с таковой для диффузионного процесса. Это вполне согласуется с данными нашего эксперимента [21, 26–29].

Почти все наблюдаемые особенности кинетики затухания КОП в системе подвижных дефектов могут быть объяснены особенностями временного поведения константы скорости реакции $K(t)$. Однако в рамках допущения о независимости n_0 от температуры начальный участок расчетных кривых на рис. 2, 3 при всех температурах имеет неизменный наклон. В эксперименте наблюдается несколько иная ситуация: с увеличением температуры тангенс угла наклона начального участка кинетики затухания КОП в двойных логарифмических координатах также возрастает по модулю с энергией активации, сопоставимой с таковой для диффузионного процесса [21, 26–29]. В свете развиваемой модели это означает, что при импульсном радиационном воздействии начальная концентрация n_0 создаваемых дефектов в действительности зависит от температуры. Из общих соображений можно предположить, что при импульсном радиационном воздействии происходит образование «близких» пар антиморфных де-

фектов «вакансия – междуузельный ион». При высокой вероятности рекомбинации в близких парах, вероятность выживания этих дефектов напрямую зависит от подвижности междуузельного иона. С увеличением температуры подвижность возрастает, что приводит к возрастанию количества «выживших» дефектов, т. е. к возрастанию с температурой начальной концентрации n_0 дефектов. Однако количественное описание этого процесса требует отдельного исследования.

4. ЗАКЛЮЧЕНИЕ

Таким образом, в настоящей работе в рамках теории диффузионно-контролируемой туннельной рекомбинации проведен анализ экспериментальных данных по короткоживущему оптическому поглощению в видимой и ультрафиолетовой областях спектра для широкозонных оптических кристаллов боратов лития $\text{Li}_2\text{B}_4\text{O}_7$, Li_3B_5 , $\text{Li}_6\text{Gd}(\text{BO}_3)_3$ и дигидрофосфатов калия KH_2PO_4 и аммония $\text{NH}_4\text{H}_2\text{PO}_4$. Основные результаты заключаются в следующем.

1. Показано, что импульсное радиационное воздействие наносекундной длительности приводит к формированию в данных кристаллах пар дефектов в виде дырочных центров поляронного типа (дырка, локализованная на $2p$ -орбитали кислорода в окрестности катионной вакансии) и электронных центров в виде междуузельных катионов Li^0 или H^0 . Оптические переходы между состояниями валентной зоны и локальным уровнем дырочного центра обусловливают наблюдаемое короткоживущее оптическое поглощение. Кинетика релаксации данных пар дефектов в широкой временной области 10^{-8} – 10 с описывается предложенной в работе моделью туннельного переноса электрона между антиморфными дефектами катионной подрешетки в условиях термостимулированной подвижности одного из партнеров рекомбинационного процесса.

2. Установлено, что кривая затухания КОП состоит из двух характерных участков. Начальный участок контролируется процессом туннельного переноса электрона, и для его приближенного описания применима формула для туннельной рекомбинации в системе неподвижных дефектов. Конечный участок кривой контролируется преимущественно диффузионным процессом и проявляется в виде спада интенсивности по закону гиперболы первого порядка. При повышении температуры данный участок кривой смещается в область меньших времен затухания. Термостимулированное «укорочение» кинетики характеризуется энергией активации, соответствующей диффузионному процессу.

3. Показано, что при повышении температуры происходит возрастание начальной концентрации n_0 дефектов, создаваемых импульсом возбуждения постоянной интенсивности. Температурная зависимость отрицательного наклона начального участка кривой затухания КОП в двойных логарифмических координатах характеризуется энергией активации, соответствующей ключевому процессу, контролирующему накопление дефектов во время действия возбуждающего импульса. При температуре выше комнатной в кристаллах с подвижными катионами таким процессом выступает диффузия. Поэтому энергия активации, определенная по температурной зависимости начального участка кинетики, соответствует таковой для диффузионного процесса.

4. Сложное поведение константы скорости реакции $K(t)$ во всей наблюдаемой области времен затухания свидетельствует о протекании нестационарной диффузионно-контролируемой туннельной зарядки дефектов. Кинетика при этом является переходной, и простые асимптотические формулы (например, закон Беккереля) не применимы для описания такой кинетики. Для каждого из перечисленных кристаллов определены численные значения кинетических параметров и рассчитаны временные зависимости констант скоростей реакций $K(t)$, что дает возможность моделировать динамику изменения оптических свойств данных материалов в условиях импульсного радиационного воздействия.

ЛИТЕРАТУРА

1. Э. Бурштейн, С. Лундквист, *Туннельные явления в твердых телах*, Мир, Москва (1973).
2. J. J. Hopfield, Proc. Nat. Acad. Sci. USA **71**, 3640 (1974).
3. К. И. Замараев, Р. Ф. Хайрутдинов, В. П. Жданов, *Туннелирование электронов в химии*, Наука, Новосибирск (1985).
4. В. И. Гольданский, Л. И. Трахтенберг, В. Н. Флеров, *Туннельные явления в химической физике*, Наука, Москва (1986).
5. В. Н. Пармон, Р. Ф. Хайрутдинов, К. И. Замараев, ФТТ **16**, 2572 (1974).
6. К. А. Насыров, С. С. Шаймеев, В. А. Гриценко, ЖЭТФ **136**, 910 (2009).
7. К. А. Насыров, В. А. Гриценко, ЖЭТФ **139**, 1172 (2011).

8. E. A. Kotomin and V. N. Kuzovkov, *Modern Aspects of Diffusion-Controlled Reactions: Cooperative Phenomena in Bimolecular Processes*, Elsevier Sci. Publ., Amsterdam (1996).
9. H. König and R. Hoppe, Z. Anorg. Allg. Chem. **439**, 71 (1978).
10. J. Krogh-Moe, Acta Crystallogr. **15**, 190 (1962).
11. J. Krogh-Moe, Acta Crystallogr. B **24**, 179 (1968).
12. С. Ф. Радаев, Л. А. Мурадян, Л. Ф. Малахова и др., Кристаллография **34**, 1400 (1989).
13. B. C. Frazer and R. Pepinsky, Acta Crystallogr. **6**, 273 (1953).
14. Э. П. Локшин, Кристаллография **41**, 1115 (1996).
15. C. T. Garapon, B. Jacquier, J. P. Chaminade, and C. Fouassier, J. Luminescence **34**, 211 (1985).
16. Y. Zhang, X. L. Chen, J. K. Liang, and T. Xu, J. Alloys Compd. **348**, 314 (2003).
17. С. Ф. Радаев, Н. И. Сорокин, В. И. Симонов, ФТТ **33**, 3597 (1991).
18. J. E. Davis, R. S. Hughes, and H. W. H. Lee, Chem. Phys. Lett. **207**, 540 (1993).
19. C. D. Marshall, S. A. Payne, M. A. Henesian et al., J. Opt. Soc. Amer. B **11**, 774 (1994).
20. Г. Н. Пирогова, Ю. В. Воронин, В. Е. Крицкая и др., Неорганические материалы **22**, 115 (1986).
21. И. Н. Огородников, В. Ю. Яковлев, А. В. Кружалов, Л. И. Исаенко, ФТТ **44**, 1039 (2002).
22. И. Н. Огородников, А. В. Поротников, С. В. Кудяков и др., ФТТ **39**, 1535 (1997).
23. И. Н. Огородников, А. В. Поротников, А. В. Кружалов, В. Ю. Яковлев, ФТТ **40**, 2008 (1998).
24. I. N. Ogorodnikov, A. V. Kruzhakov, A. V. Porotnikov, and V. Yu. Yakovlev, J. Luminescence **76–77**, 464 (1998).
25. I. N. Ogorodnikov, A. V. Kruzhakov, A. V. Porotnikov, and V. Yu. Yakovlev, Radiat. Effects and Defects in Solids **150**, 299 (1999).
26. И. Н. Огородников, В. Ю. Яковлев, Л. И. Исаенко, ФТТ **45**, 803 (2003).
27. И. Н. Огородников, Н. Е. Порывай, В. А. Пустоваров и др., ФТТ **51**, 1097 (2009).
28. I. N. Ogorodnikov, N. E. Poryvay, V. A. Pustovarov et al., Radiat. Measurements **45**, 336 (2010).
29. И. Н. Огородников, В. Ю. Яковлев, Б. В. Шульгин, М. К. Сатыбалдиева, ФТТ **44**, 845 (2002).
30. И. Н. Огородников, С. В. Кудяков, А. Ю. Кузнецов и др., Письма в ЖТФ **19**, 77 (1993).
31. И. Н. Огородников, В. Ю. Иванов, А. А. Маслаков и др., Письма в ЖТФ **19**, 42 (1993).
32. I. N. Ogorodnikov, A. Yu. Kuznetsov, A. V. Kruzhakov, and V. A. Maslov, Radiat. Effects and Defects in Solids **136**, 233 (1995).
33. А. В. Поротников, И. Н. Огородников, С. В. Кудяков и др., ФТТ **39**, 1380 (1997).
34. I. N. Ogorodnikov, A. V. Porotnikov, S. V. Kudyakov, and A. V. Kruzhakov, Mater. Sci. Forum **239–241**, 337 (1997).
35. I. N. Ogorodnikov, L. I. Isaenko, A. V. Kruzhakov, and A. V. Porotnikov, Radiat. Measurements **33**, 577 (2001).
36. K. T. Stevens, N. Y. Garces, L. E. Halliburton et al., Appl. Phys. Lett. **75**, 1503 (1999).
37. N. Y. Garces, K. T. Stevens, L. E. Halliburton et al., J. Appl. Phys. **89**, 47 (2001).
38. И. Н. Огородников, В. А. Пустоваров, Б. В. Шульгин и др., Опт. и спектр. **91**, 243 (2001).
39. И. Н. Огородников, М. Кирм, В. А. Пустоваров, В. С. Черемных, Опт. и спектр. **95**, 413 (2003).
40. I. N. Ogorodnikov, M. Kirm, V. A. Pustovarov, and V. S. Cheremnykh, Radiat. Measurements **38**, 331 (2004).
41. I. N. Ogorodnikov, V. A. Pustovarov, M. Kirm, and V. S. Cheremnykh, J. Luminescence **115**, 69 (2005).
42. S. D. Setzler, K. T. Stevens, L. E. Halliburton et al., Phys. Rev. B **57**, 2643 (1998).
43. M. Maeda, H. Tachi, K. Honda, and I. Suzuki, Jpn. J. Appl. Phys. **33**, 1965 (1994).
44. A. E. Aliev, I. N. Kholmanov, and P. K. Khabibullaev, Sol. St. Ionics **118**, 111 (1999).
45. J.-H. Park, Sol. St. Comm. **123**, 291 (2002).
46. J. M. Pollock and M. Sharan, J. Chem. Phys. **51**, 3604 (1969).
47. V. T. Kuanyshev, T. A. Belykh, I. N. Ogorodnikov et al., Radiat. Measurements **33**, 503 (2001).
48. I. N. Ogorodnikov and V. Yu. Yakovlev, Phys. Stat. Sol. (c) **2**, 641 (2005).
49. И. Н. Огородников, В. Ю. Яковлев, Изв. вузов, физика **54**(1/3), 137 (2011).
50. М. С. Киселева, И. Н. Огородников, Свид. гос. регистр. прогр. для ЭВМ N2011616814 (01.09.2011 г.).
51. M. Kbala, A. Levasseur, C. Fouassier, and P. Hagemuller, Sol. St. Ionics **6**, 191 (1982).